

八光建設(株) 正員 後迫 茂
 長岡技術科学大学 正員 河原 能久
 長岡技術科学大学 正員 後藤 駿

1. はじめに

ヒートパイプ(HPと略記)を利用した融雪装置の開発が進められている。本研究は地下水流れが存在する地盤と熱源とする場合を検討対象とし、現地でみられる複数の層から成る地盤中に設置されたHPへ流入する熱量の算出方法を得ることを目的としている。本報は基礎的な2層からなる地盤を用いた室内実験結果を述べるものである。

2. 実験概要

実験装置の概要を図-1に示す。地盤のモデルとして水槽中央に砂槽($L=80\text{ cm} \times H=70\text{ cm} \times B=30\text{ cm}$)を設け、地盤中央にHPを鉛直に埋設した。地盤は上層(厚さ30cm, 砂粒径: $d_{50}=0.22\text{ mm}$, 透水係数: $k=1.5 \times 10^{-2}\text{ cm/s}$)と下層(厚さ40cm, $d_{50}=0.41\text{ mm}$, $k=1.0 \times 10^{-1}\text{ cm/s}$)の2層から成る。地盤の有効熱伝導率(入)は上・下層とも $5 \times 10^{-3}\text{ cal/cm \cdot s \cdot deg}$ である。実験条件を表-1に示す。実験では冷却ジャケットが空の状態から温度(T_c), 流量(g_c)が一定の冷却水を供給しHPから放熱させた。上流端の水温(T_f)をほぼ一定値とし、地下水水流速(全断面平均流速: U_m)を変化させた。なお、使用したHPの仕様を表-2に表わす。

3. 実験結果

3.1 非定常状態での結果

図-2はHPへ流入する熱量(Q)の時間的変化を2つのケースについて示したものである。熱量は地下水水流速の大小にかかわらず、冷却開始直後に大きく以後漸減し一定値に至る。図-3はHP蒸発部外壁の前後のよどみ線に沿う温度分布(T_e)の経時変化を表わす。時間経過とともにHP外壁温度が低下していく、やがて一定となる。また、層の境界近傍を除いてHP外壁温度はそれぞれの層内ごとにほぼ一様とな

表-2 HP仕様

管材質	スチール
作動流体	アンモニア
遷流方式	重力
全長	100cm
蒸発部	60cm
断熱部	10cm
凝縮部	30cm
外径	3.4cm
内厚	0.34cm
ワックス	なし
封入液量	蒸気空間の5%
その他	外壁に防錆塗装

図-1 実験装置概要

表-1 実験条件

	T_f	U_m	T_c	q_c
1	21.7	0.65	1.50	22.9
2	21.1	0.72	1.45	24.4
3	21.1	1.60	1.45	22.0
4	20.9	3.20	1.60	21.0
5	20.2	6.30	1.45	22.2
6	20.5	8.80	1.55	19.4

(°C) * 10⁻³ (°C) (cm³/s)

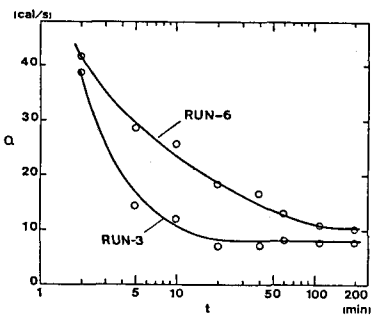


図-2 HPへの流入熱量の時間的変化

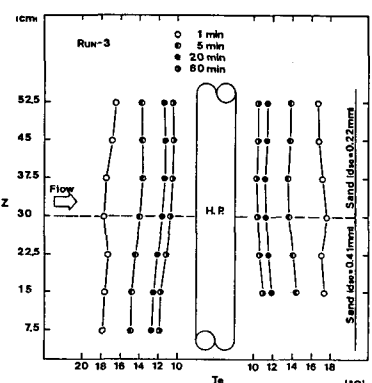


図-3 HP外壁温度の時間的変化

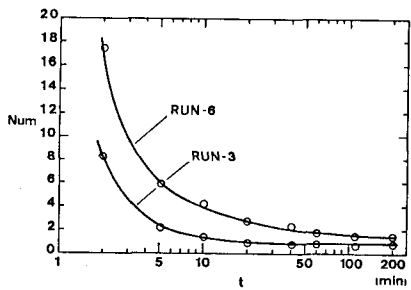


図-4 HP外壁平均対せん数の時間的変化

っている。HP蒸発部外壁平均又セルト数($Num = d_{em} \cdot D_o / \lambda$, d_{em} : HP蒸発部外壁平均熱伝達率, D_o : HP外径)の時間的変化を図-4に示す。平均又セルト数も熱量と同様に時間とともに減少し、差値に近づく。以上の結果より、時間経過に伴い、HP外壁と地温との温度差は増すが、平均熱伝達率がその増分以上に減少するため熱量が減少することが知られる。

3.2 定常状態の結果

図-5は地盤内温度分布の測定例(Run-6)である。ただし、HP前面、背面のよどみ線の延長上の温度である。また、HP外壁温度は後述のように下層の方が高い。地盤内温度はHPから等距離の位置では上層より下層の方が高くなっている。また、等温線は層境界付近を除くとほぼHP管軸に平行となっている。HPへの流入熱量と地下水水流速との関係を表わしたもののが図-6である。地下水水流速はペクレ数($Pe = U_m D_o (PC)_w / \lambda$, $(PC)_w$: 水の熱容量)の形で表現してある。地下水水流速が増すにつれ、熱量は増大する。図-7は上下層内のHP外壁平均温度($T_f - \bar{T}_e$)と地下水水流速との関係を示している。HP外壁温度は地下水水流速の大きい下層の方が高く、上下層間のHP温度差は地下水水流速が増すにつれて増加する。図-8はHP蒸発部全体の平均又セルト数(Num)と地下水水流速との関係を表わす。地下水水流速が増加するにつれ、平均又セルト数も増大する。

2層地盤中に設置されたHPへの流入熱量の算出を試みる。計算手順は次のようである。①それぞれの地盤について算術平均温度($\frac{1}{2}(T_f + \bar{T}_e)$)での透水係数を計算する。②各層内の断面平均流速を実験装置上下流端のピエゾ水頭差より求める。③断面平均流速より各層内のペクレ数が得られるので、1層のみの地盤で得られた $Num \sim Pe$ の関係¹⁾より各層のHP外壁平均又セルト数を求める。④各層内のHP外壁平均熱伝達率が計算されるので、各層ごとにHPへ流入する熱量が算出される。計算されたHPへの流入熱量($Q_1 + Q_2$)と測定値(Q_{obs})とを比較したものが図-9である。図中の丸印に付けられている横線は温度測定用の熱電対の誤差を 0.1°C とした場合の測定値の幅を示す。計算値の方が測定値よりもやや大きい値となってている。温度測定の誤差、地盤の縮固めの不均一、HP端部の影響を考慮すると、計算値と測定値は良好に一致していると考えられる。

4. おわりに

地下水流れの存在する2層地盤中にHPを設置すると、層境界付近を除き、各層内の地盤、HP外壁温度がHP管軸方向にはほぼ一定となる。このことと均質地盤との結果からHPへの流入熱量を算出したところ測定値とほぼ再現した。今後、地盤材料を変えた実験と数値シミュレーションを検討する予定である。

参考文献 1)後迫、河原、後藤: 第39回年講, 659-660, 1984

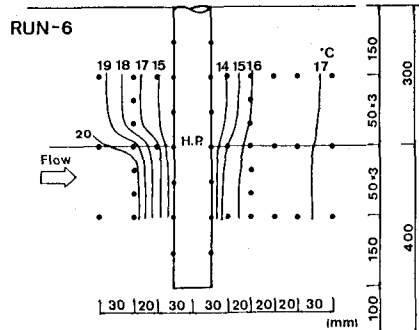


図-5 地盤温度分布例

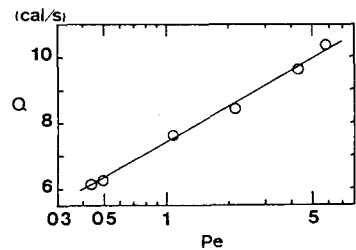


図-6 HPへの流入熱量と地下水水流速との関係

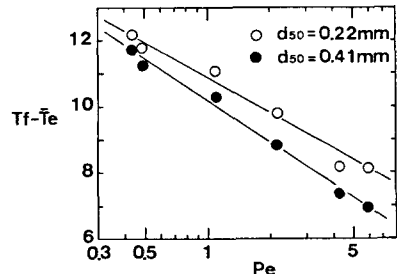


図-7 HP外壁平均温度と地下水水流速との関係

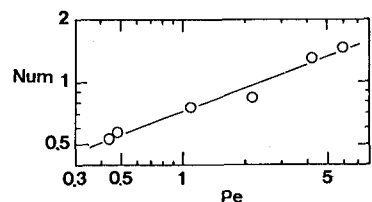


図-8 HP平均又セルト数と地下水水流速との関係

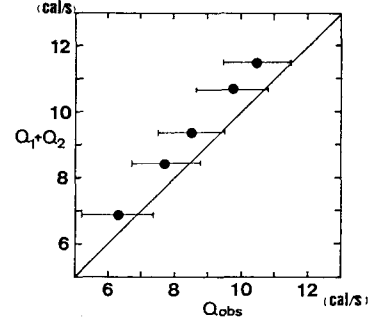


図-9 HPへの流入熱量の比較